

II-345 山地河川流域の地下水流出の透減特性

電源開発株式会社 正員 ○ 伊藤孝
 東京大学工学部土木工学科 正員 高橋裕
 東京大学工学部土木工学科 正員 安藤義久

1. はじめに

前報¹⁾では、日本全国の45の山地流域を対象にして、地下水流出の被圧・不圧透減式の適合性、透減係数に対する季節・流域面積・流域地質の効果について検討した。本稿では、対象流域を92に増やすとともに、地質区分として第四紀火山岩類・第三紀火成岩類・花崗岩類・中生層・古生層の外、第三紀堆積岩を追加した。そして、標準透減曲線との対応、同一水系内における流域面積の効果についても言及する。

2. 透減式および解析方法

地下水流出の透減式として、被圧透減式(①式)・不圧透減式(②式)が Werner・Sundquist, Roche, 高木により理論的に導かれている。

$$\text{被圧透減式 } Q = Q_0 \exp(-A_c T) \quad ①$$

$$\text{不圧透減式 } Q = Q_0 / (1 + A_u \sqrt{Q_0} T)^2 \quad ②$$

ここで、 Q_0 (mm/day)は初期流出高、 Q (mm/day)は丁日後の流出高、 A_c ・ A_u は被圧・不圧透減係数である。解析に際しては、次のように変形し、最小自乗法により被圧・不圧透減係数 A_c ・ A_u と定数 C 、相関係数を求めた。

$$\text{被圧透減式 } \ln(Q_0/Q) = A_c T + C_c \quad ③$$

$$\text{不圧透減式 } (\sqrt{Q_0}/T - 1)/\sqrt{Q_0} = A_u T + C_u \quad ④$$

3. 解析結果と考察

3-1 透減式の適合性と透減係数の季節的変動

透減部と理論式との一致については、被圧・不圧透減式の両方とも、各流域で相関係数が平均値で0.90以上と高い相関を示し、大差なくあてはまることがわかった。

次に、Fig. 1の古生層流域・横田川・

西郡橋を例として、透減式の適合性と季節的変動について述べる。Fig. 1の上図は、夏・冬の各透減部を重ね合わせた標準透減曲線で、それぞれ一つの曲線にのることがわかる。下図は縦軸に被圧・不圧透減係数を、横軸に初期流出高をと、たもので、△は春季(3~5月)、○は夏季(6~9月)、▲は秋季(10~11月)、●は冬季(12~2月)である。これより被圧透減係数は初期流出高との間に右上り、即

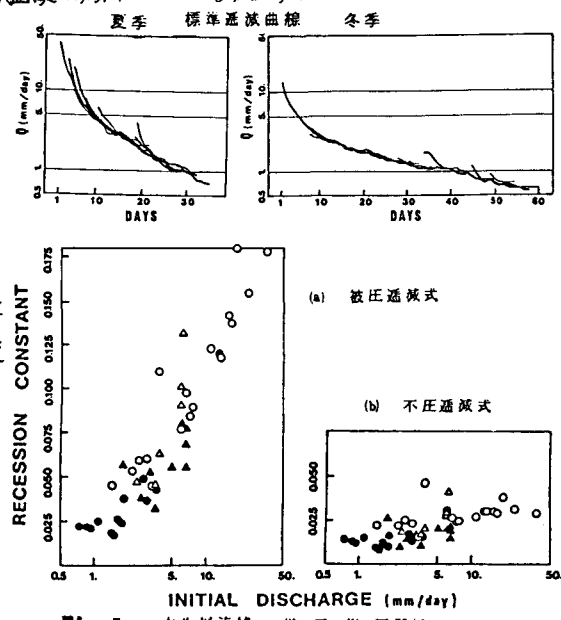


Table 1 季節別標準透減曲線と透減係数と初期流出高との相関図
 透減特性における流域面積の効果

(a) 神流川 古生層流域

衛水所	流域面積	不圧透減係数	
		冬季	夏季
塩見	12.6	0.014	-----
下久保ダム	322.9	0.018	0.035
渡瀬	373.6	0.014	-----

(b) 大淀川 第四紀火山岩類流域

衛水所	流域面積	不圧透減係数	
		冬季	夏季
乙房	359.	0.005	0.016
園瀬	860.6	0.005	0.015

(c) 川内川 第四紀火山岩類流域

衛水所	流域面積	不圧透減係数	
		冬季	夏季
吉松	284.	0.004	0.015
下手瀬	571.	0.003	0.010
鶴田ダム	805.	0.005	0.015

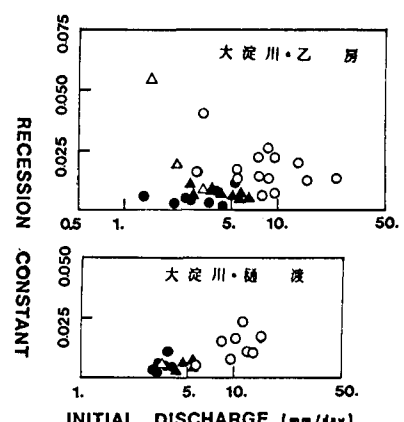


Fig. 2 不圧透減係数と初期流出高との相関図

ち、初期流出高が大きくなると造成係数も大きくなるのに対し、不圧造成係数は全体的に見ても、また夏・冬季別にみるとより一層、一定として考えることができ、標準造成曲線が示す傾向を一つのパラメーターで表示でき、適合性に勝れる。季節別に造成係数をみると、冬季は値が小さくバラツキも小さく、夏季は値が大きくバラツキも大きい。春秋冬季は両者の中間的分布を示すことがわかる。今回対象とした92流域のほとんどで季節的変動はみられ、おむね不圧造成式が適合性に勝ることが明らかにされた。

3-2 造成特性に対する流域面積・流域地質の効果

先の結果から、不圧造成係数を中心に、流域面積・流域地質の効果について述べる。Fig.2は、大淀川流域内の同一地質のZ房(354km²)と構成(860km²)の不圧造成係数と初期流出高の関係を示したもので、冬季●・夏季○とも同じ分布で、流域面積による差はみられない。Table 1に神流川・大淀川・川内川の3流域内で同一地質の流域の流域面積、平均的夏季・冬季不圧造成係数を示したが、顕著な差はみられない。

次に、Fig.3(a)～(f)には、地質別に流域面積を横軸に、不圧造成係数(夏季○、冬季●)を縦軸にしたものを示す。冬季不圧造成係数は各地質毎にほとんど一定であり、流域面積による差はみられない。夏季についても一定と考えられるものもある。そこでTable 2に、地質別の冬季・夏季不圧造成係数のサンプル数・平均値・標準偏差を示す。地質別に不圧造成係数についてまとめると、第四紀火山岩類は冬季0.01以下、夏季0.02以下、第三紀火成岩類は冬季不明、夏季0.02以下、花崗岩類・第三紀堆積岩は冬季0.01前後、夏季0.02前後、中・古生層は冬季0.02前後、夏季0.02以上である。

4.まとめ

- (1) 不圧造成式は被圧造成式に比べ、適合性に勝れる。
- (2) 造成係数は季節的に変動しており、冬季は小さく、夏季は大きい、春秋冬季は中間的である。(標準造成曲線は季節的に異なる)
- (3) 造成特性に対する流域面積の効果はみられない。
- (4) 地質別には、第四紀火山岩類が造成係数が最も小さく、次に第三紀火成岩類・花崗岩類・第三紀堆積岩、そして中・古生層が最も大きい。

参考文献：1)

安藤・高橋・伊藤：
山地河川の地下水
流出の造成特性と
それに対する流域
地質の効果、第25
回水理講演会、1981。

Table 2 不圧造成係数の地質別・季節別の値

	冬季不圧造成係数			夏季不圧造成係数		
	N	X	s	N	X	s
第四紀火山岩類	21	0.008	0.005	23	0.018	0.011
第三紀火成岩類	--	-----	-----	5	0.018	0.008
花崗岩類	12	0.011	0.006	20	0.030	0.022
中 古 生 層	8	0.019	0.007	14	0.043	0.023
古 生 層	21	0.018	0.006	25	0.038	0.027
第三紀 堆積岩	3	0.012	0.001	5	0.024	0.004

N : The Number Of Samples X : Average s : Standard Deviation

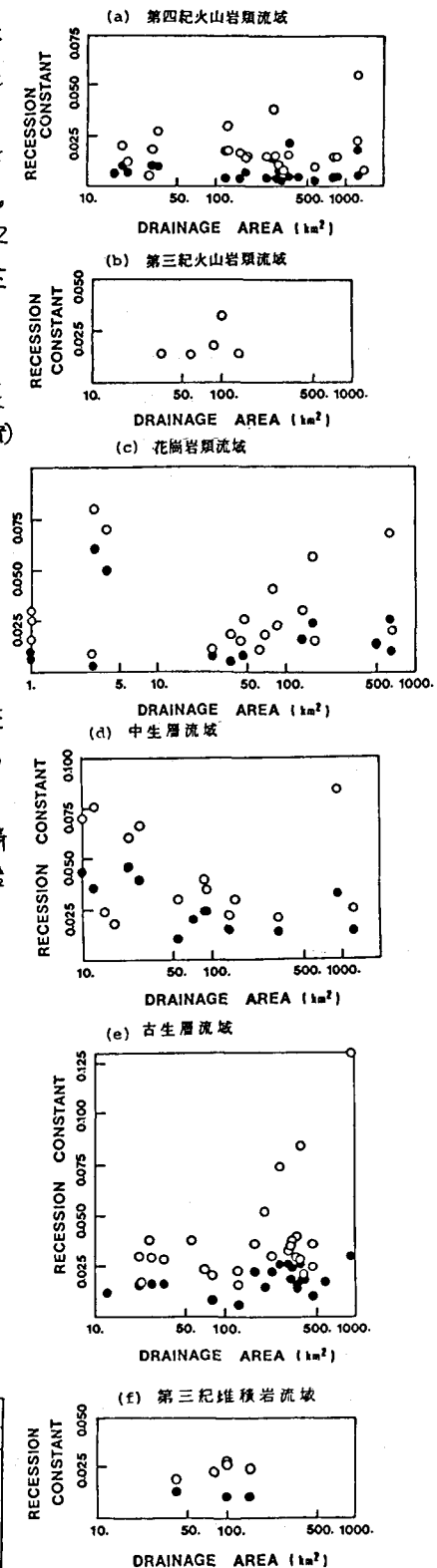


Fig.3 地質別・季節別・流域面積